

Amaca Yönelik Ayrıt Saptama

Goal Oriented Edge Detection

Binnur Kurt, Muhittin Gökmen

Bilgisayar Mühendisliği Bölümü
İstanbul Teknik Üniversitesi
{bkurt,gokmen}@itu.edu.tr

Özetçe

Çoğu bilgisayar gözü uygulamasında, farklı özelliklerde ayrıt haritası üretebilen ayrıt saptayıcılar sıkılıkla ihtiyaç duyulmaktadır. Ayrıt saptayıcının ürettiği bu farklı karakteristikteki ayrıt haritalarından birinin eldeki uygulamanın ihtiyaç duyduğu ayrıtları üreteceği umulmaktadır. Ancak mevcut ayrıt saptayıcıların önerdiği çözümlerden uygulamanın ihtiyaç duyduğu en iyi ayrıtların seçimi ile ilgili genel geçer bir yöntem yoktur. Önerilen yöntemler çoğunlukla uygulamanın ihtiyaç duyduğu ayrıtları üreticek şekilde kolaylıkla uyarlanabilir olmaktan uzaktır. Daha önceki çalışmalarımızda geliştirdiğimiz Genelleştirilmiş Ayrıt Saptayıcısının ölçek parametrelerinin değiştirilmesiyle, farklı özelliklerde ayrıtlar üretilmesi sağlanmıştır. Üretilen ayrıt haritaları zengin olmasına karşın tek bir ölçekteki ayrıtlardan amaca uygun ayrıtlar üretmek mümkün değildir. Bu çalışmada güçlü ayrıt saptayıcıları geliştirilmiş ve bu saptayıcılar amaca yönelik ayrıt saptama çatısı altında kullanılmıştır. Önerilen çatı iki aşamalı bir süreçten oluşmaktadır. İlk olarak kullanıcı, veritabanındaki imgelerdeki beneklerin bir kısmını ayrıt benekleri ve diğer bir kısmını ayrıt olmayan benekler olarak etiketlemektedir. Daha sonra işaretlenen bu benekler üzerinde hesaplanan çeşitli ölçek ve doğrultulardaki G-süzgeç cevapları birebirleştirilerek öznitelik vektörleri elde edilir. İkinci aşamada ise sürekli ayrıtlar birer çevrit olarak değerlendirilir ve ardından bu çevritler eğitim kümelerindeki çevritler ile eşlenir. Eşlemede, daha önce geliştirdiğimiz gradyan temelli ilginde değişimsiz şekil betimleyicileri kullanılmıştır. Sadece bu eşlemeyi geçen çevritler çevrit olarak kabul edilir. Geliştirilen ayrıt saptayıcı gerçek plaka görüntülerini üzerinde yapılan testlerde başarılı ile çalıştığı gösterilmiştir.

Abstract

In many vision applications, there is a great demand for an edge detector which can produce edge maps with very different characteristics in nature, so that one of these edge maps may meet the requirements of the problem under consideration. Unfortunately it is not evident how to choose the desired or the optimum edge maps from these solutions that the edge detector offers. The proposed solutions are usually too general that cannot be easily adapted to the application needs by tuning edge detection parameters. One edge detector that we have studied in this study is Generalized Edge Detector which is capable of producing edges with very different characteristics. Although the edge maps based on this representation are reasonable, no one set of scale parameters alone yields a solution close to the desired edges. In this study, we have developed powerful edge

operators and have used them under a goal-based edge detection framework. Proposed framework is a two-stage process. First, user marks some pixels in the database as edge and non-edge pixels. Then feature vectors comprised of filter responses to G-Filters at different scales are extracted at these marked pixels. Edge detection problem is imposed as two-class classification problem. Support vector machine (SVM) is used in the experiments. Classifier itself is not adequate to extract desired edges for the application under consideration. In the second stage continuous edges are treated as one contour. Then contours are matched with the contours in the training set. Only matched contours are kept and the other contours are eliminated. The purpose of the first stage is to keep only prominent edges and remove irrelevant edges with respect to the application. The classifier decides which discontinuity is prominent or irrelevant. Experimental studies on real license plate images show that the proposed edge detector can successfully detect edges only on license plate regions.

1. Giriş

Ayrıt saptamada amaç yoğunluk yüzeylerinden nesnelerin sınırlarına karşı düşen ayrıtların üretilmesidir. Üretilen bu ayrıtlar görüntü yüzeyindeki keskin değişimlerin neden olduğu süreksızlıklar olarak ortaya çıkar. Görüntü yüzeyindeki bu ani değişimin kaynağı ya nesnenin dış yüzeyinin yapısal özellikleri (örneğin örtüyü, örtme) ya da aydınlatma özellikleri (örneğin gölgeler, parlaklık) olabilir. Kaynağı ne olursa olsun, durağan bir görüntüdeki ayrıtların saptanması, yüksek doğruluk gerektiren ayrıt temelli herhangi bir bilgisayar gözü algoritmasının önemli bir aşamasını oluşturur. Birçok çevrit temelli bilgisayar gözü uygulamasında (örneğin şekil-tabanlı sorgulama [2], çevrit-temelli görüntü çifti [3], çevrit-temelli görüntü sıkıştırma [4], ayrıt-temelli yüz tanıma [5] ve ayrıt-temelli hedef tanıma [6]) başarım büyük oranda saptanan ayrıtların doğruluğuna bağlıdır. Bu nedenle ayrıt saptama, bilgisayar göründe önemli araştırma konularından birini oluşturmaktadır.

Herhangi bir ayrıt saptayıcı, yüksek doğruluk ile gürültüyü bastırma özellikleri arasındaki ödünləşimi çözmeliidir. Ne var ki, bir ön bilgi olmaksızın en iyi ödünləşimi belirlemek mümkün değildir. Gerçekten, bir beneğin ayrıt üzerinde bulunup bulunmadığına karar verme problemi kötü konumlandırılmış bir problemdir. Karar verme süreci yoğunluk yüzeyinin çeşitli derecelerden türevinin hesabını gerektirmektedir. Bilindiği gibi, türev alma işlevi gürültüyü kuvvetlendirmektedir. Bu problemin önüne geçmek için türev işlevinden önce düzleştirme işlemi uygulanır. Bu görüntüye alçak geçiren bir süzgeç uygulanması ile sağlanır. Mevcut

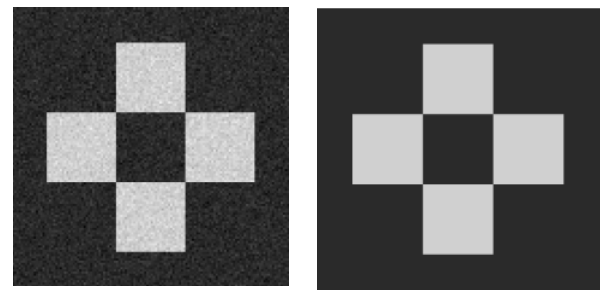
ayrit saptayıcların çoğunuğu bu ödünlüşimin en iyi çözümünü hedeflemiştir. Ancak en iyi çözümün tek bir ölçekte saptanır ayrıtlardan elde edilemeyeceği gösterilmiş ve farklı ölçeklerdeki ayrıtların saptanarak tümleştirmesi çözümü önerilmiştir. Bu çalışmaların çoğu ya Gauss süzgeci ya da şekli Gauss süzgecine çok benzeyen süzgeçlerle sonuçlanmıştır. Ayrıca bu süzgeçler, tek bir ölçek parametresi ile yönlendirilebildiklerinden, ayrıtların ve yüzeylerin ölçek uzayının gösteriminin elde edilmesinde kullanılmak için son derece uygundurlar. Bu süzgeçlerin geniş bir kullanımına sahip olmalarına rağmen belirli bir problem için istenilen sonucu sağladıklarını söylemek mümkün değildir. Örneğin, ayrıtin yerinin doğru olarak saptanmasının daha önemli olduğu durumu ele alalım. Bu durumda, yer bilgisini daha doğru veren eniyi-altı bir süzgeç kullanmak daha uygun olacaktır. Mevcut çözümlerin amaca yönelik ayrıtlar üretmekten uzak olmaları, araştırmacıları genel amaçlı bir ayrıt saptayıcı tasarıma yöneltmiştir.

Farklı özelliklerde ayrıt haritası üretebilen ayrıt saptayıcları oldukça fazla ihtiyaç duyulmaktadır. Bu farklı karakteristiklerdeki ayrıt haritalarından birinin eldeki uygulamanın ihtiyaç duyduğu ayrıtları üreteceği umulmaktadır. Ancak ayrıt saptayıçının önerdiği çözümlerden uygulamanın ihtiyaç duyduğu en iyi ayrıtların seçimi ile ilgili genel geçer bir çözüm yoktur. Ayrıt saptama için önerilen yöntemler çoğunlukla uygulamanın ihtiyaç duyduğu ayrıtları üretecek şekilde kolaylıkla uyarlanabilir olmaktadır. Bu çalışmada üzerinde çalışılan ve kullanılan Genelleştirilmiş Ayrıt Saptayıçısının (GAS) ölçek parametreleri olan λ ve τ 'nın değiştirilmesiyle farklı özelliklerde ayrıtlar üretilebilmesi sağlanmıştır. Üretilen ayrıt haritalarının başarılı olmasına karşın tek bir ölçekte amaca uygun ayrıtlar üretmek mümkün değildir. Bu çalışmada amacımız, güçlü ayrıt saptayıcları geliştirmek ve bu saptayıcları amaca yönelik ayrıt saptama çatısı altında kullanmaktır. Önerilen çatı iki aşamalı bir süreçten oluşmaktadır. İlk olarak kullanıcı, veritabanındaki imgelerdeki beneklerin bir kısmını ayrıt benekleri ve ayrıt olmayan benekler olarak etiketlemektedir. Daha sonra işaretlenen bu benekler üzerinde hesaplanan çeşitli ölçek ve doğrultulardaki G-süzgeç cevapları birleştirilerek öznitelik vektörleri elde edilir. Böylelikle, ayrıt saptama problemi iki sınıflı sınıflandırma problemine dönüştürülmüş olur. Ayrıt noktalarından çıkarılan öznitelik vektörünü u_r ile ve ayrıt olmayan noktalardan çıkarılan öznitelik vektörünü v_r ile gösterelim:

$$u_{i,j,r}(f_k) = ([G_x(\lambda_i, \tau_j) * f_k](edge_{f_k}(r))) \quad (1)$$

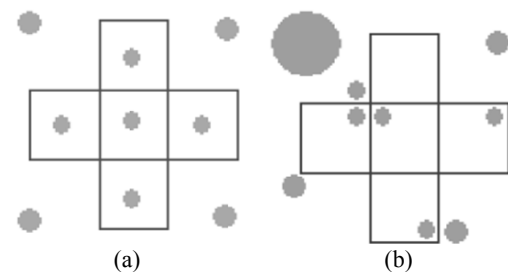
$$v_{i,j,s}(f_k) = ([G_x(\lambda_i, \tau_j) * f_k](none_{f_k}(s))).$$

Burada f_k k . eğitim imgesini, $G_x(\lambda_i, \tau_j)$ genelleştirilmiş ayrıt saptayıçısını, $edge_{f_k}(r)$ k . eğitim imgesinde işaretlenen r . ayrıtin koordinatlarını ve $none_{f_k}(s)$ k . eğitim imgesinde işaretlenen s . ayrıt olmayan noktanın koordinatlarını göstermektedir. $\lambda\tau$ -uzayının nasıl örneklediği sınıflandırma başarımı etkilemektedir. Etkinin nasıl olduğuna incelemek üzere gürültülü dama imgesi (Şekil.1 (a)) için iki farklı örnekleme için sınıf dağılımı oluşturuldu.



Şekil.1 Gürültülü ve özgün dama imgeleri.

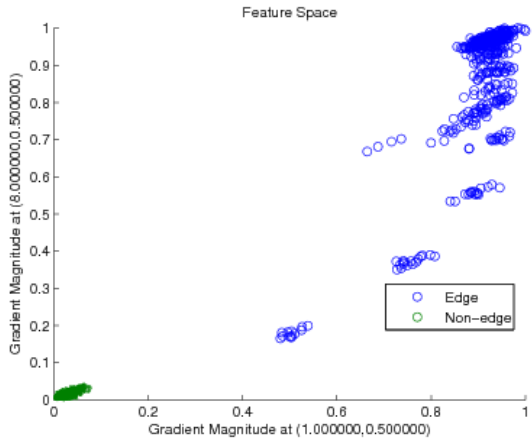
Benzer şekilde sınıflandırma başarımı etkileyen diğer bir unsur ayrıt ve ayrıt olmayan noktaların seçimidir. İki farklı seçim Şekil.2'de verilmiştir.



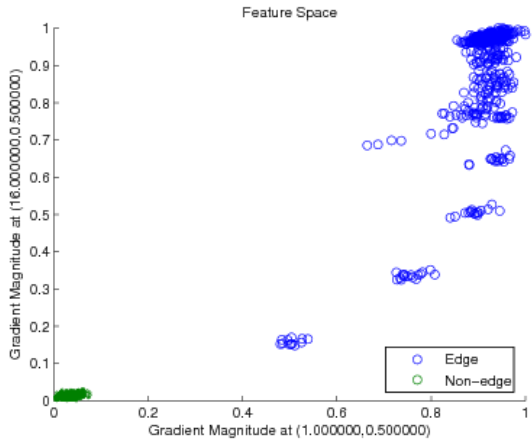
Şekil.2 İki farklı işaretleme biçimi.

Farklı seçimler için öznitelik vektör dağılımı da farklılık göstermektedir. Sınıflandırıcı olarak Destek Karar Makinelerinden (DKM) yararlanılmıştır. Sınıflandırıcı uygulama için anlamlı olabilecek ayrıtları tutmakta ve diğer ilgisiz ayrıtları elemektir. Sınıflandırıcı hangi değişimin önemli hangisinin ise ilgisiz olduğuna karar vermektedir.

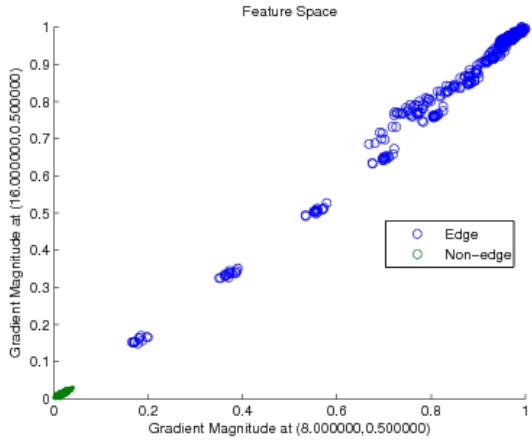
2. Birinci Aşama: Öznitelik Vektörlerinin Çıkarılması ve Sınıflandırma



(a)



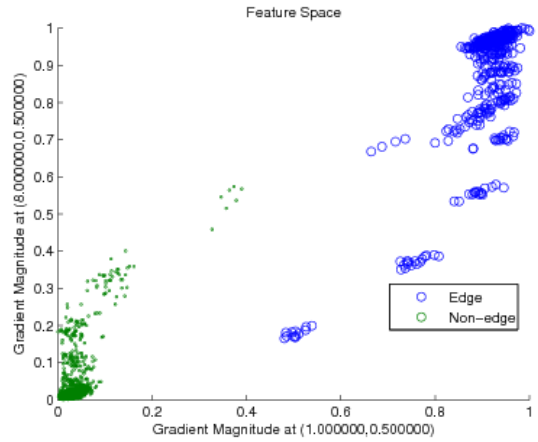
(b)



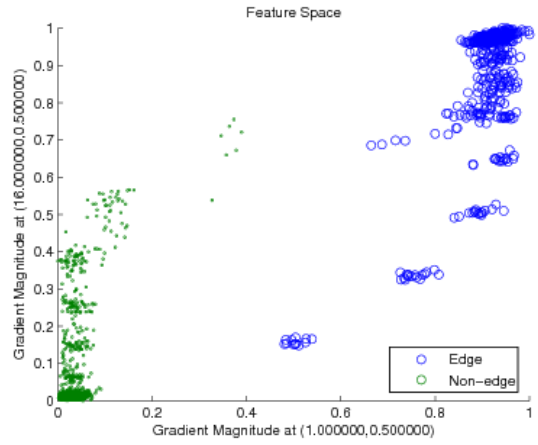
(c)

Şekil.3 Şekil.2 (a)'da verilen seçim için öznitelik uzayındaki dağılımı

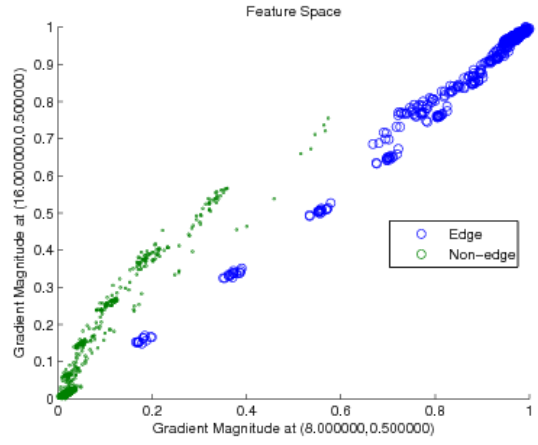
- (a) $(\lambda_1, \tau_1) = (1.0, 0.5), (\lambda_2, \tau_1) = (8.0, 0.5)$
- (b) $(\lambda_1, \tau_1) = (1.0, 0.5), (\lambda_2, \tau_1) = (16.0, 0.5)$
- (c) $(\lambda_1, \tau_1) = (8.0, 0.5), (\lambda_2, \tau_1) = (16.0, 0.5)$



(a)



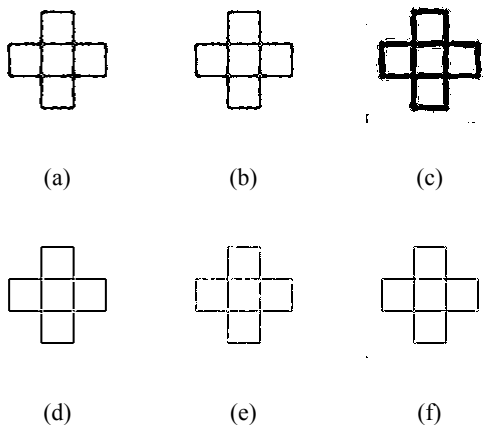
(b)



(c)

Şekil.4 Şekil.2 (b)'de verilen seçim için öznitelik uzayındaki dağılımı

- (a) $(\lambda_1, \tau_1) = (1.0, 0.5), (\lambda_2, \tau_1) = (8.0, 0.5)$
- (b) $(\lambda_1, \tau_1) = (1.0, 0.5), (\lambda_2, \tau_1) = (16.0, 0.5)$
- (c) $(\lambda_1, \tau_1) = (8.0, 0.5), (\lambda_2, \tau_1) = (16.0, 0.5)$



Şekil.5 Ayrıt saptama sonuçları (a),(b),(c) Şekil-3 (a),(b),(c) ile elde edilen ayrıt saptayıcı sonuçları, (d),(e),(f) Şekil-4 (a),(b),(c) ile elde edilen ayrıt saptayıcı sonuçları.

3. İkinci Aşama: Gradyan Tabanlı Şekil Betimleyiciler

Burada nesnenin her zaman kapalı bir çevre sahip olduğunu varsayıyoruz. Temel fikir sadece çevrit noktalarının kullanmak yerine, aynı zamanda bu noktalardaki gradyan değerlerini de ele almaya dayanmaktadır. Gradyan tabanlı şekil betimleyiciler ile ilgili detaylar [6] ve [7]'de verilmiştir.

4. Sonuçlar

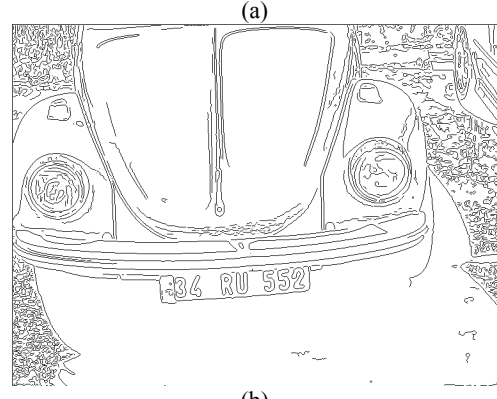
Önerilen yöntemin başarımı araç plaka rakam imgelerinin oluşturduğu veritabanı üzerinde sınanmıştır. Veritabanında 8321 gri seviyeli rakam karakterleri bulunmaktadır. Bunların yaklaşık yarısı (4121) eğitim, kalani (4200) test imgesi olarak ayrılmıştır. Pratikte, taşit plakalarında 10 farklı rakam (0-9) yer almakla beraber, sadece 9 adet sınıf tanımlanmıştır. Dönme söz konusu olduğunda, herhangi bir ön bilgi olmaksızın 6 ile 9 imgelerini birbirinden ayırt etmek mümkün değildir. Şekil.5'de önerilen ayrıt saptayıcı ile elde edilen sonuç verilmiştir.

Önerilen yaklaşımın, gürbüz ve kesin ayrıt/çevrit saptamaya ihtiyaç duyulan birçok uygulamada yerini bulacağına inanıyoruz. Geliştirilen yöntemin güçlü ayrıt/çevrit-temelli yüz tanıma ve araç plaka tanıma gibi bilgisayar görü uygulamalarının geliştirilmesine olanak sağlayacaktır.

5. Kaynakça

- [1] B. Günsel, M. Tekalp, "Shape Similarity Matching for Query-By-Example," Pattern Recognition, Vol. 31, No. 7, pp. 931-944, 1998.
- [2] N.M. Nasrabadi, "A Stereo-Vision Technique using Curve Segments and Relaxation Matching," IEEE Trans. On Pattern Analysis and Machine Intelligence, Vol. 14, No. 5, pp. 566-572, 1992.

- [3] B. Kurt, M. Gökmen, A.K. Jain, "Image Compression Based on Centipede Model," Int. Conf. on Image Analysis and Processing, ICIAP'97, Vol. 1, pp. 303-311, Florence Italy.
- [4] A. Yılmaz, M. Gökmen, "Face Recognition Based on Eigenhills," 7th Conference on Signal Processing and Applications, SIU'99, 1999.
- [5] Gökmen, M. and Jain, A.K., 1997. $\lambda\tau$ -Space Representation of Images and Generalized Edge Detector, *IEEE Transactions on Pattern Analysis and Machine Intelligence*, 19, 545-563.
- [6] Kurt, B., Çapar, A. and Gökmen, M., 2007. *Affine Invariant Shape Descriptors*, 15th IEEE Conf. on Signal Processing and Its Applications, IEEE SIU'2007, 2007.
- [7] Çapar, A., Kurt, B. and Gökmen, M., 2008. *Gradiant Based Shape Descriptors*, appear to Machine Vision and Applications, 2008.



(a)

(b)

34 552

(c)

Şekil.5 Eğitim kümesi ile eğitilen ayrıt saptayıcı ile edilen sonuç (a) Giriş görüntüsü (b) Ayrıt haritası (c) Saptanan plaka karakterleri.